



FACULTAD DE
INGENIERÍA



UNIVERSIDAD
DE LA REPÚBLICA
URUGUAY

Aprendizaje Automático para Datos en Grafos

Graph representation learning

Marcelo Fiori

Muy basado en transparencias de **Gonzalo Mateos**

`mfiori@fing.edu.uy`

`http://www.fing.edu.uy/~mfiori/`

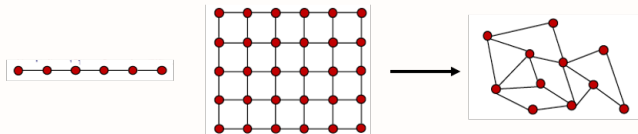
10 de noviembre, 2022



FACULTAD DE
INGENIERÍA
UDELAR

Aprendizaje automático en grafos: Motivación

- Modelos muy exitosos para representación (y) aprendizaje en **datos estructurados**
 - Secuencias (e.g., texto, audio, videos) via **recurrent neural networks (RNNs)**
 - Clasificación de imágenes via **convolutional neural networks (CNNs)**



- Pero los datos no siempre son regulares \Rightarrow **Estructuras relacionales complejas**
 - **Grafos** en redes sociales, química computacional, biología, ...
- **Desafíos:** aplicar modelos diseñados para datos regulares, en grafos
 - La estructura de los grafos puede ser arbitraria y variar en diferentes escenarios
 - Las convoluciones no generalizan a dominios irregulares

M. Bronstein et al, "Geometric deep learning: Going beyond Euclidean data," *IEEE Signal Processing Magazine*, vol. 34, 2017

¿De qué vamos a hablar?

Graph representation learning (GRL)

- Aprender vectores en baja dimensión (embeddings) para datos en grafos
- Tipos de aprendizaje:
 - **Supervisado**: aprender representaciones para clasificación de nodos o grafos
 - **No-supervisado**: aprender representaciones que preserven estructura de grafos
- Dominio subyacente:
 - **Transductivo**: estructura del grafo fija (e.g., una red social muy grande)
 - **Inductivo**: los grafos de entrada pueden variar (e.g., múltiples moléculas)
- Información en los nodos:
 - **Featureless**: no tenemos información adicional (i.e., graph signals)
 - **With features**: los nodos tienen atributos o características

Roadmap

- 1 The network embedding problem
- 2 Una taxonomía de modelos de graph embedding
- 3 Unsupervised graph embedding

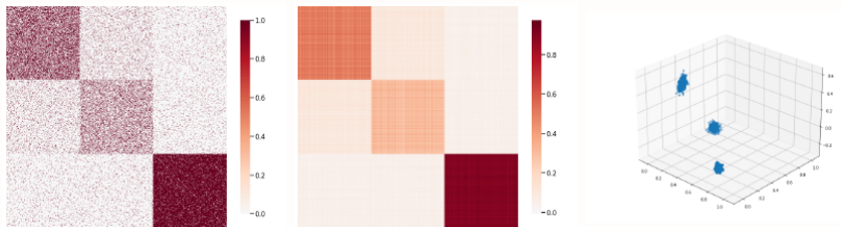
Embeddings de grafos

- Aprender un mapa de un grafo discreto a un dominio continuo
- Dado $G(\mathcal{V}, \mathcal{E})$ con matriz de adyacencia (con pesos) $\mathbf{W} \in \mathbb{R}^{N_v \times N_v}$
- **Objetivo:** aprender una representación en vectores d -dimensionales $\{\mathbf{z}_i\}_{i \in \mathcal{V}}$
 - ⇒ Criterio es preservar propiedades locales y globales del grafo
- Salida es una matriz de embeddings de nodos $\mathbf{Z} = [\mathbf{z}_1, \dots, \mathbf{z}_{N_v}]^T \in \mathbb{R}^{N_v \times d}$
 - ⇒ Elegir $d \ll N_v$ para escalabilidad
 - ⇒ Hay reducción de dimensionalidad
- Es posible extender esto a un **embedding del grafo entero** via $\mathbf{z} \in \mathbb{R}^d$

Adjacency spectral embedding (revisitado)

- Ex: SBM con $N_v = 1500$, $Q = 3$ y parámetros:

$$\boldsymbol{\alpha} = \begin{bmatrix} 1/3 \\ 1/3 \\ 1/3 \end{bmatrix}, \quad \boldsymbol{\Pi} = \begin{bmatrix} 0,5 & 0,1 & 0,05 \\ 0,1 & 0,3 & 0,05 \\ 0,05 & 0,05 & 0,9 \end{bmatrix}$$



- Adyacencia muestreada (izq.), \mathbf{ZZ}^\top (centro), filas de \mathbf{Z} (der.)
- Embeddings para poder usar métodos geométricos de análisis

El rol de las señales en grafos

- Señales en grafos (a.k.a. atributos en nodos o características) $\mathbf{X} \in \mathbb{R}^{N_v \times F}$



- **Ex:** Edad, género (redes sociales), señales fMRI, ratings de productos
- Los embeddings captura información **estructural** y **semántica** del grafo

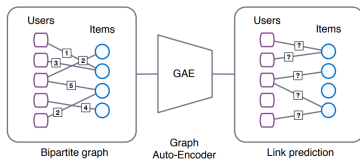
$$\{\mathbf{W}, \mathbf{X}\} \mapsto \mathbf{Z}$$

- Sin \mathbf{X} , el embedding $\{\mathbf{W}\} \mapsto \mathbf{Z}$ se dice **featureless**
 \Rightarrow El mapeo **solo** preserva información **estructural**

Embeddings transductivos e inductivos

Transductive network embedding

- Embedding de nodos de un grafo fijo (en general grande)
 - Ex: Recomendación de productos o amigos via predicción de enlaces
 - Ex: Clasificación de nodos en aprendizaje semi-supervisado



- Dados nuevos nodos, hay que actualizar o re-entrenar el modelo

Inductive network embedding

- Aprender mapas a representaciones que generalizan a grafos no vistos
 - Ex: Embedding de grafos de cerebros para clasificación de sujetos
 - Ex: Embedding de grafos dinámicos para clustering temporal
- Típicamente se necesitan señales **X** para hacer embedding inductivo

Embeddings supervisados y no-supervisados

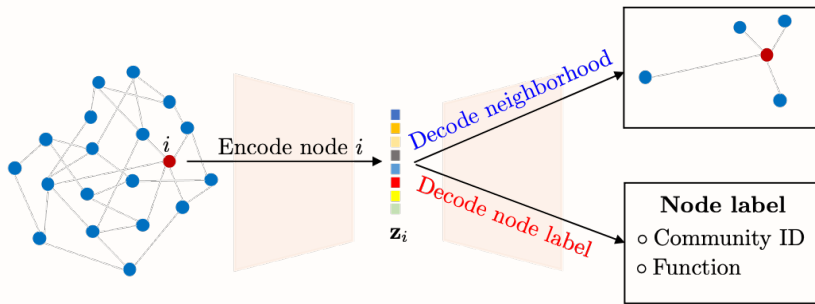
Unsupervised network embedding

- Solamente tenemos la topología del grafo \mathbf{W} (y eventualmente \mathbf{X})
 - **Preservar estructuras del grafo** optimizando una función de pérdida/reconstrucción
 - Decodificar los embedding \mathbf{Z} para aproximar bien \mathbf{W}
- **Ex:** compresión, visualización, clustering, predicción de enlaces

Supervised network embedding

- Además de \mathbf{W} (y \mathbf{X}), tenemos disponibles etiquetas de nodos o grafos \mathbf{y}^S
 - Optimizar embeddings para **tareas aguas abajo**
 - Combina reconstrucción y función de pérdida de la tarea específica
- **Ex:** clasificación de nodos, clasificación de grafos

Una perspectiva encoder-decoder



W. L. Hamilton et al, "Representation learning on graphs: Methods and applications," *IEEE Data Engineering Bulletin*, 2018

Roadmap

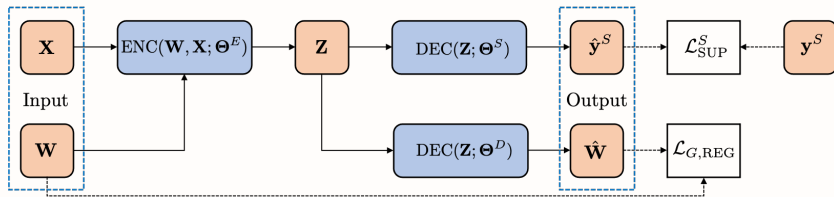
- 1 The network embedding problem
- 2 Una taxonomía de modelos de graph embedding
- 3 Unsupervised graph embedding

Un modelo abarcativo para graph embedding

■ Graph Encoder Decoder Model (GraphEDM)

⇒ Marco unificador para revisar y comparar métodos de GRL

⇒ **Biblioteca open-source** con métodos y aplicaciones



I. Chami et al, "Machine learning on graphs: A model and comprehensive taxonomy," *arXiv:2005.03675 [cs.LG]*, 2020

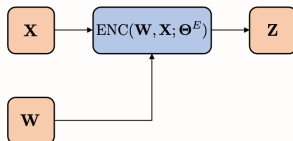
■ Q: ¿Cuáles son los componentes constitutivos del modelo?

<https://github.com/google/gcnm-survey-paper>

Input

- Grafo no dirigido $G(\mathcal{V}, \mathcal{E})$, con $|\mathcal{V}| = N_v$ y $|\mathcal{E}| = N_e$
⇒ Matriz de adyacencia (con pesos) $\mathbf{W} \in \mathbb{R}^{N_v \times N_v}$
- Opcionalmente señales en el grafo (características de nodos) $\mathbf{X} \in \mathbb{R}^{N_v \times F}$
- Para aprendizaje (semi)-supervisado, también necesitamos etiquetas de:
 - Nodos (N), para clasificación de nodos y clustering
 - Aristas (E), para predicción de enlaces o clasificación de relaciones
 - Grafos (G), para clustering y clasificación de grafos
- Las etiquetas de supervisión las denotamos \mathbf{y}^S , donde $S \in \{N, E, G\}$

Encoder



■ Graph encoder network

$$\text{ENC}_{\Theta^E} : \mathbb{R}^{N_v \times N_v} \times \mathbb{R}^{N_v \times F} \mapsto \mathbb{R}^{N_v \times d}$$

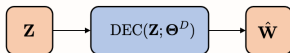
⇒ Parámetros entrenables Θ^E

■ Combina la estructura del grafo con señales para producir un embedding

$$\mathbf{Z} = \text{ENC}(\mathbf{W}, \mathbf{X}; \Theta^E)$$

⇒ Captura diferentes propiedades del grafo en base al tipo de supervisión

Decoder (I)



■ Graph decoder network

$$\text{DEC}_{\Theta^D} : \mathbb{R}^{N_v \times d} \mapsto \mathbb{R}^{N_v \times N_v}$$

⇒ Parámetros entrenables Θ^D

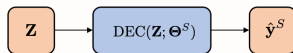
■ Usa \mathbf{Z} para producir scores de (di)similitud \hat{W}_{ij} para cada $\{i, j\} \in \mathcal{V}^{(2)}$

$$\hat{\mathbf{W}} = \text{DEC}(\mathbf{Z}; \Theta^D)$$

⇒ Reconstrucción no supervisada del grafo

⇒ Aproxima \mathbf{W} , o más en general una matriz de (di)similitud $s(\mathbf{W})$

Decoder (II)



- Classification network

$$\text{DEC}_{\Theta^S} : \mathbb{R}^{N_v \times d} \mapsto \mathbb{R}^{N_v \times |\mathcal{Y}|}$$

⇒ Parámetros entrenables Θ^S , espacio de etiquetas \mathcal{Y}

- Usa \mathbf{Z} para producir distribuciones de etiquetas para cada nodo

$$\hat{\mathbf{y}}^S = \text{DEC}(\mathbf{Z}; \Theta^S)$$

⇒ Aprendizaje (semi)-supervisado para clasificación de nodos/grafos

Output

- Matriz de similitud reconstruida $\hat{\mathbf{W}} \in \mathbb{R}^{N_v \times N_v}$
 - ⇒ Usado para entrenar algoritmos de embedding no supervisados
- Para aprendizaje (semi)-supervisado, las salidas son las etiquetas que se predicen $\hat{\mathbf{y}}^S$
 - El espacio de salida de etiquetas varía dependiendo del tipo de supervisión
- Node-level: $\hat{\mathbf{y}}^N \in \mathcal{Y}^{N_v}$ or $\hat{\mathbf{Y}}^N \in [0, 1]^{N_v \times |\mathcal{Y}|}$
 - ⇒ Cuando $|\mathcal{Y}| = d$, se puede usar activación softmax en las filas de \mathbf{Z}
- Edge-level: $\hat{\mathbf{Y}}^E \in \mathcal{Y}^{N_v \times N_v}$, where typically $\mathcal{Y} = \{0, 1\}^{\#\text{relation types}}$
 - ⇒ Cuando $\#\text{relation types} = 1$ (i.e., predicción de enlaces), salida $\hat{\mathbf{W}}$
- Graph-level: $\hat{y}^G \in \mathcal{Y}$
 - ⇒ Usando \mathbf{W} , convertir \mathbf{Z} a \hat{y}^G via graph pooling

Funciones de pérdida

■ Supervised loss

$\Rightarrow \mathcal{L}_{\text{SUP}}^S$ compara las etiquetas que se predicen $\hat{\mathbf{y}}^S$ al ground truth \mathbf{y}^S

Ex: clasificación semi-supervisada de nodos ($S = N$, $\mathcal{V} = \mathcal{V}_{\text{obs}} \cup \mathcal{V}_{\text{miss}}$)

$$\mathcal{L}_{\text{SUP}}^N(\mathbf{y}^N, \hat{\mathbf{y}}^N; \Theta) = \sum_{i \in \mathcal{V}_{\text{obs}}} \ell(y_i^N, \hat{y}_i^N; \Theta)$$

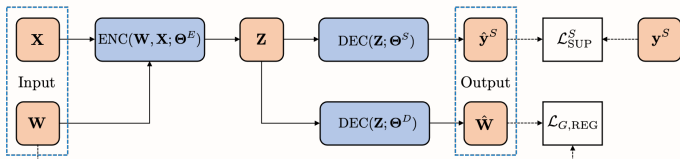
■ Graph regularization loss

$\Rightarrow \mathcal{L}_{G, \text{REG}}$ compara $\hat{\mathbf{W}}$ con matriz de (di)similitud objetivo $s(\mathbf{W})$

$$\mathcal{L}_{G, \text{REG}}(\mathbf{W}, \hat{\mathbf{W}}; \Theta) = d_1(s(\mathbf{W}), \hat{\mathbf{W}})$$

- $d_1(\cdot, \cdot)$: función distancia o de disimilitud
- Aprovechar G via $s(\mathbf{W})$ para regularizar los parámetros del modelo Θ

Función objetivo



■ Weight regularization loss

$\Rightarrow \mathcal{L}_{\text{REG}}$ regulariza los parámetros entrenables Θ para reducir overfitting

$$\mathcal{L}_{\text{REG}}(\Theta) = \sum_{\theta \in \Theta} \|\theta\|_2^2$$

■ Función objetivo GraphEDM total

$$\mathcal{L}(\Theta) = \alpha \mathcal{L}_{\text{SUP}}^S(\mathbf{y}^S, \hat{\mathbf{y}}^S; \Theta) + \beta \mathcal{L}_{G, \text{REG}}(\mathbf{W}, \hat{\mathbf{W}}; \Theta) + \mathcal{L}_{\text{REG}}(\Theta)$$

\Rightarrow Entrenamiento supervisado ($\alpha \neq 0$) o no supervisado ($\alpha = 0$)

Q: ¿Aprendizaje supervisado end-to-end o en dos etapas?

Taxonomía de graph embedding

- Categorizamos los métodos de GRL en base al encoder y la función de pérdida
- **Shallow embedding methods** $\mathbf{Z} = \text{ENC}(\Theta^E) = \Theta^E$
 - Un simple embedding lookup
- **Graph auto-encoding methods** $\mathbf{Z} = \text{ENC}(\mathbf{W}; \Theta^E)$
 - **Transductivos** como los shallow embeddings, no hay señal \mathbf{X} , así que funciona para grafo fijo G
- **Graph regularization methods** $\mathbf{Z} = \text{ENC}(\mathbf{X}; \Theta^E)$
 - Usamos \mathbf{W} via $\mathcal{L}_{G, \text{REG}}$ para regularizar los embeddings
- **Neighborhood aggregation methods** $\mathbf{Z} = \text{ENC}(\mathbf{W}, \mathbf{X}; \Theta^E)$
 - Usamos \mathbf{W} para propagar información entre nodos y aprender \mathbf{Z}

Roadmap

- 1 The network embedding problem
- 2 Una taxonomía de modelos de graph embedding
- 3 Unsupervised graph embedding

Unsupervised graph embedding

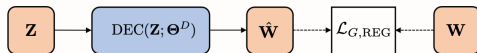
- **Objetivo:** Aprender embeddings de nodos que preserven estructura del grafo
- Optimizamos para reconstruir cierta matriz de (di)similitud entre nodos $s(\mathbf{W})$

$$\mathcal{L}(\Theta) = \alpha \mathcal{L}_{\text{SUP}}^S(\mathbf{y}^S, \hat{\mathbf{y}}^S; \Theta) + \beta \mathcal{L}_{G, \text{REG}}(\mathbf{W}, \hat{\mathbf{W}}; \Theta) + \mathcal{L}_{\text{REG}}(\Theta)$$

$\alpha = 0$

- La salida del decoder es $\hat{\mathbf{W}}$, con $\hat{W}_{ij} = d_2(\mathbf{z}_i, \mathbf{z}_j)$
 - Regularización $\mathcal{L}_{G, \text{REG}} = d_1(s(\mathbf{W}), \hat{\mathbf{W}})$
 - Optimizamos sobre conjunto de entrenamiento $\{i, j\} \in \mathcal{V}_{\text{obs}}^{(2)}$, usando SGD o métodos espectrales
- La matriz de similitud objetivo $s(\mathbf{W})$ puede tomar varias formas
 - Ex: Reconstruir proximidad de primer orden via $[s(\mathbf{W})]_{ij} = W_{ij}$
 - Ex: Proximidad de alto orden $[s(\mathbf{W})]_{ij} = |\mathcal{N}_i \cap \mathcal{N}_j|$, Jaccard, Adamic-Adar
 - Ex: Prob. $[s(\mathbf{W})]_{ij} = P(v_j | v_i)$ que $i, j \in \mathcal{V}$ co-ocurrán en paseos al azar (random walks)

Shallow embeddings



■ Shallow embedding methods

$$\mathbf{Z} = \text{ENC}(\Theta^E) = \Theta^E \in \mathbb{R}^{N_v \times d}$$

⇒ Un simple embedding lookup, se optimiza directamente \mathbf{Z}

■ Dos clases, en base al tipo de decoder $\hat{\mathbf{W}} = \text{DEC}(\mathbf{Z}; \Theta^D)$

- Métodos basados en distancia: $\hat{W}_{ij} = d_2(\mathbf{z}_i, \mathbf{z}_j)$
- Métodos basados en productos externos: $\hat{\mathbf{W}} = \mathbf{Z}\mathbf{Z}^\top \Rightarrow \hat{W}_{ij} = \mathbf{z}_i^\top \mathbf{z}_j$

■ Inspirados en reducción de dimensionalidad via low-rank matrix factorization

⇒ Enfoques más recientes se basan en random walks (analogías con NLP)

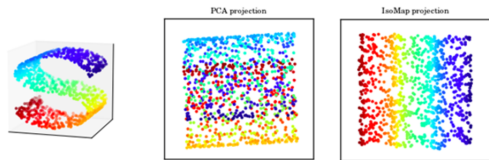
Métodos basados en distancia

- **Idea:** que los embeddings preserven **distancias** en G [codificadas en $s(\mathbf{W})$]

$$\mathcal{L}_{G, \text{REG}}(\mathbf{W}, \hat{\mathbf{W}}; \Theta) = d_1(s(\mathbf{W}), \hat{\mathbf{W}}) = \sum_{i, j \in \mathcal{V}_{obs}^{(2)}} ([s(\mathbf{W})]_{ij} - \hat{W}_{ij})^2$$

⇒ Euclidean distance decoder: $\hat{W}_{ij} = d_2(\mathbf{z}_i, \mathbf{z}_j) = \|\mathbf{z}_i - \mathbf{z}_j\|_2$

- **Multi-dimensional scaling (MDS)** preserva conectividad **local**
 - Seteamos $[s(\mathbf{W})]_{ij} = 1$ (o W_{ij}) si $W_{ij} > 0$ y 0 si no
- **IsoMAP** preserva distancias geodésicas **globales** en la variedad
 - Seteamos e.g., $[s(\mathbf{W})]_{ij} = d_G(i, j)$, distancia del camino más corto entre $i, j \in \mathcal{V}$



Laplacian eigenmaps

- Captura información de G via propiedades espectrales de $\mathbf{L} = \mathbf{D} - \mathbf{W}$
 - ⇒ Esquema no lineal de reducción de dimensionalidad que preserva propiedades locales

$$\min_{\mathbf{Z} \in \mathbb{R}^{N_v \times d}} \text{trace}(\mathbf{Z}^\top \mathbf{L} \mathbf{Z}), \quad \text{s. to } \mathbf{Z}^\top \mathbf{D} \mathbf{Z} = \mathbf{I}$$

- Se puede escribir de forma equivalente como un término de regularización

$$\mathcal{L}_{G, \text{REG}}(\mathbf{W}, \hat{\mathbf{W}}; \Theta) = d_1(s(\mathbf{W}), \hat{\mathbf{W}}) = \sum_{i, j \in \mathcal{V}_{obs}^{(2)}} W_{ij} \hat{W}_{ij}^2$$

⇒ Euclidean distance decoder: $\hat{W}_{ij} = d_2(\mathbf{z}_i, \mathbf{z}_j) = \|\mathbf{z}_i - \mathbf{z}_j\|_2$

⇒ Embeddings estarán cerca en \mathbb{R}^d si i, j están bien conectados en G

M. Belkin and P. Niyogi, "Laplacian eigenmaps for dimensionality reduction and data representation," *Neural Computation*, 2003.

Non-Euclidean embedding spaces

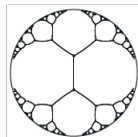
- **Idea:** embedding de grafos con estructura jerárquica en espacio hiperbólico

$$\mathcal{L}_{G,\text{REG}}(\mathbf{W}, \hat{\mathbf{W}}; \Theta) = d_1(s(\mathbf{W}), \hat{\mathbf{W}}) = - \sum_{i,j \in \mathcal{V}_{obs}^{(2)}} W_{ij} \log \frac{e^{-\hat{W}_{ij}}}{\sum_{k | \mathbf{W}_{ik}=0} e^{-\hat{W}_{ik}}}$$

⇒ Poincaré distance decoder:

$$\hat{W}_{ij} = d_2(\mathbf{z}_i, \mathbf{z}_j) = \text{arcosh} \left(1 + 2 \frac{\|\mathbf{z}_i - \mathbf{z}_j\|_2^2}{(1 - \|\mathbf{z}_i\|_2^2)(1 - \|\mathbf{z}_j\|_2^2)} \right)$$

- Captura similitud y jerarquía
- Se usan herramientas de optimización en variedades



M. Nickel and D. Kiela, "Poincaré embeddings for learning hierarchical representations," *NeurIPS*, 2017

Matrix factorization methods

- **Idea:** aprender representaciones de bajo rango de la matriz de similitud $s(\mathbf{W})$

$$\mathcal{L}_{G,\text{REG}}(\mathbf{W}, \hat{\mathbf{W}}; \Theta) = d_1(s(\mathbf{W}), \hat{\mathbf{W}}) = \|s(\mathbf{W}) - \hat{\mathbf{W}}\|_F^2$$

⇒ Decodificador de producto externo: $\hat{\mathbf{W}} = \text{DEC}(\mathbf{Z}; \Theta^D) = \mathbf{Z}\mathbf{Z}^\top$

⇒ Implica una aproximación via producto interno $[s(\mathbf{W})]_{ij} \approx \mathbf{z}_i^\top \mathbf{z}_j$

- **Graph factorization (GF)** preserva similitud de primer orden en G
 - Seteamos $[s(\mathbf{W})]_{ij} = W_{ij}$ y evaluamos $\mathcal{L}_{G,\text{REG}}(\mathbf{W}, \hat{\mathbf{W}}; \Theta)$ en $(i, j) \in \mathcal{E}$
- **GraRep** preserva similitud de orden mayor en G
 - Seteamos e.g., $[s(\mathbf{W})]_{ij} = [\mathbf{W}^k]_{ij}$, $k \geq 2$, cantidad de caminos de largo k
- **HOPE** preserva medidas de similitud general en G (dirigido)
 - Jaccard, Adamic-Adar y scores relacionados usando vecinos
- Muy relacionado al adjacency spectral embedding (ASE) para RDPGs

De textos a grafos

- Utilizar herramientas de modelado y aprendizaje de características en NLP
 - **Ex:** Red neuronal *skip-gram* para word2vec embeddings
 - De texto (secuencias de palabras) a grafos (secuencias de nodos)
- **Idea:** \mathbf{z}_i similares a nodos que tiendan a co-ocurrir en random walks sobre G
- Mirar oraciones en NLP como random walks sobre el vocabulario
 - Generar random walks cortos sobre G para samplear secuencias de nodos
 - Aprender distribuciones posicionales de nodos como con palabras [Perozzi et al'14]
- Prob. $P(j | i)$ de visitar j en un random walk de largo T desde i
⇒ Medida de similitud (asimétrica) $[s(\mathbf{W})]_{ij}$ a decodificar desde \mathbf{Z}

Random walk approaches

- Pares de entrenamiento $\{i, j\} \in \mathcal{V}_{obs}^{(2)}$ sampleados de random walks cortos
 - Para cada $i \in \mathcal{V}$, N se sortean pares $\{i, j_1\}, \dots, \{i, j_N\}$ de $P(j | i)$
 - Largo de cada paseo es $T \in \{2, \dots, 10\}$
- Término de regularización del grafo: cross-entropy loss

$$\mathcal{L}_{G,REG}(\mathbf{W}, \hat{\mathbf{W}}; \Theta) = - \sum_{i,j \in \mathcal{V}_{obs}^{(2)}} \log \hat{W}_{ij}$$

⇒ Composición de un softmax y un decodificador de producto externo

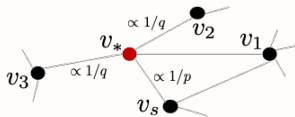
$$\hat{W}_{ij} = \frac{e^{\mathbf{z}_i^\top \mathbf{z}_j}}{\sum_{k \in \mathcal{V}} e^{\mathbf{z}_i^\top \mathbf{z}_k}}$$

⇒ Implica una aproximación $\hat{W}_{ij} \approx [s(\mathbf{W})]_{ij} = P(j | i)$

- Evaluar el denominador del softmax es desafiante (complejidad $\mathcal{O}(N_v)$)

DeepWalk y node2vec

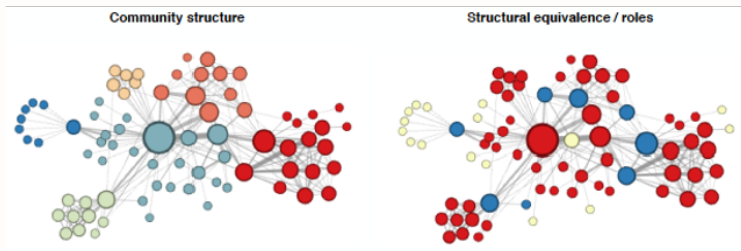
- **DeepWalk** sortea random walks de forma uniforme (equiprobable en los vecinos)
 - Matriz de probabilidad de transición $\mathbf{P} = \mathbf{D}^{-1}\mathbf{W}$
 - Usan *softmax jerárquico* para calcular $\sum_{k \in \mathcal{V}} e^{\mathbf{z}_i^\top \mathbf{z}_k}$ usando árboles binarios
- **Node2Vec** usa una definición flexible de random walks (sesgados)
 - Interpola suavemente entre paseos del tipo **BFS (Breadth First Search)** o **DFS (Depth First Search)**
 - Efectivo para capturar **roles estructurales** o **estructuras de comunidades**
 - Aproxima $\sum_{k \in \mathcal{V}^*} e^{\mathbf{z}_i^\top \mathbf{z}_k}$ muestreando \mathcal{V}^*



- Hyperparámetros p (de retorno) y q (in-out). Después de hacer $v_s \rightarrow v_*$
 - (i) Controla la probabilidad de visitar nodos ($v_* \rightarrow v_s$); o
 - (ii) Quedarse cerca del nodo predecesor ($v_* \rightarrow v_1$); o
 - (iii) Moverse “más lejos” ($v_* \rightarrow \{v_2, v_3\}$)

Random walks sesgados

- **Ex:** grafo de interacción entre personajes de la novela ‘Les Miserables’



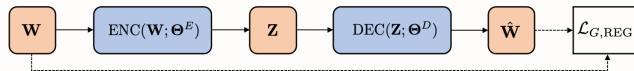
- node2vec interpola entre capturar estructuras **globales** y **locales**
 - El coloreo de la izquierda recupera membresía a comunidades (**global**)
 - El coloreo de la derecha indica roles que juega entre vecinos (**local**)

A. Grover and J. Leskovec, “node2vec: Scalable feature learning for networks,” *KDD*, 2016

Limitaciones

- **Shallow embeddings:** el encoder es muy sencillo
 - ⇒ Optimiza directamente un único embedding \mathbf{z}_i para cada nodo $i \in \mathcal{V}$
- No se comparten parámetros entre nodos en el encoder
 - Estadísticamente ineficiente, compartir parámetros actúa como un regularizador
 - Computacionalmente ineficiente, el número de parámetros es $\mathcal{O}(N_v)$
- No permite aprovechar señales
 - Perdemos atributos potencialmente muy informativos respecto a la posición y rol en G
- Inherentemente transductivos
 - Problema para grafos grandes o dinámicos
 - No generalizan a otros grafos más allá de G (usado en training)

Autoencoders



■ Autoencoders

$$\mathbf{Z} = \text{ENC}(\mathbf{W}; \Theta^E)$$

⇒ Incorporamos \mathbf{W} en el encoder

■ Usamos una **red neuronal profunda** en encoder y decoder

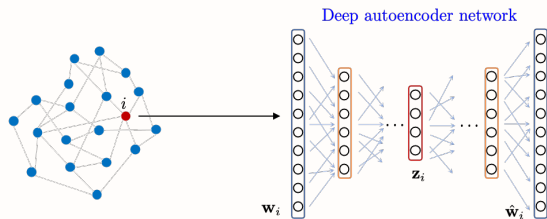
⇒ Habilidad para modelar no linealidades

⇒ Lleva a representaciones más complejas

■ Se entrena el modelo end-to-end minimizando una función de pérdida

Métodos de neighborhood autoencoder

- Sea $\mathbf{w}_i \in \mathbb{R}^{N_v}$ la i -ésima columna de \mathbf{W}
⇒ Captura la información de vecinos de $i \in \mathcal{V}$



- **Objetivo del autoencoder:** reconstruir \mathbf{w}_i a partir del embedding \mathbf{z}_i aprendido

Structural deep network embedding

- Structural deep network embedding (SDNE) minimiza

$$\mathcal{L}_{G,\text{REG}}(\mathbf{W}, \hat{\mathbf{W}}; \Theta) = \sum_i \|\mathbf{w}_i - \hat{\mathbf{w}}_i\|_2^2 + \gamma \sum_{i,j} W_{ij} \|\mathbf{z}_i - \mathbf{z}_j\|_2^2$$

⇒ Incorpora el costo de Laplacian eigenmaps

- Usa deep autoencoders por nodo (parámetros compartidos)

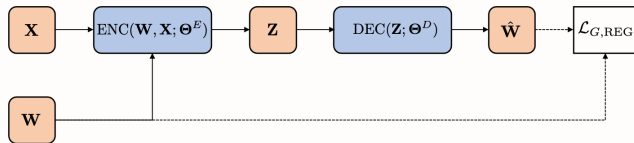
$$\mathbf{z}_i = \text{ENC}(\mathbf{w}_i; \Theta^E), \quad \hat{\mathbf{w}}_i = \text{DEC}(\mathbf{z}_i; \Theta^D)$$

- Via \mathbf{w}_i , se regulariza el encoder con la topología de G

- Desventaja: la dimensión de entrada está fija a N_v , costoso para grafos G grandes

D. Wang et al, "Structural deep network embedding," *KDD*, 2016

Graph neural networks



■ Graph Neural Networks

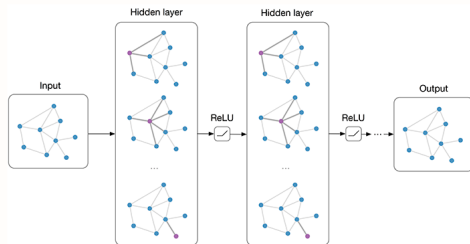
$$\mathbf{Z} = \text{ENC}(\mathbf{W}, \mathbf{X}; \Theta^E)$$

⇒ Usa **señales en el grafo \mathbf{X}** y topología \mathbf{W} en el encoder

■ Genera embedding \mathbf{z}_i por agregación de señales en \mathcal{N}_i

- **Convolutacional:** implementación local y distribuida
- **Eficiencia:** dimensión de parámetros independiente de N_v
- **Regularización:** a través de los parámetros compartidos
- **Inductivos:** genera embeddings para nodos no vistos en entrenamiento

Convolutional graph autoencoders



- Graph autoencoders (GAE) usa una GCN encoder para aprender embeddings

$$\mathbf{Z} = \text{GCN}(\mathbf{W}, \mathbf{X}; \Theta^E)$$

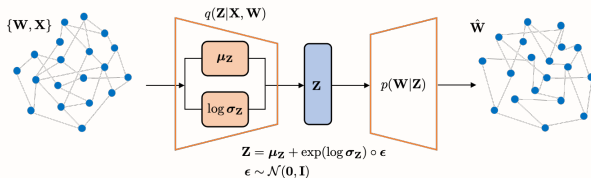
- Sigmoid cross entropy loss entre \mathbf{W} y la salida del decoder $\hat{\mathbf{W}}$

$$\mathcal{L}_{G, \text{REG}}(\mathbf{W}, \hat{\mathbf{W}}; \Theta) = - \sum_{i, j \in \mathcal{V}_{obs}^{(2)}} (1 - W_{ij}) \log(1 - \sigma(\hat{W}_{ij})) + W_{ij} \log \sigma(\hat{W}_{ij})$$

⇒ Decoder de producto externo: $\hat{\mathbf{W}} = \text{DEC}(\mathbf{Z}; \Theta^D) = \mathbf{Z}\mathbf{Z}^\top$

⇒ Modelo no probabilístico, adecuado para grafos sin pesos

Variational graph autoencoders



- **Objetivo:** entrenar un decoder probabilístico para generar grafos realistas

$$\hat{W} \sim p(W | Z)$$

dadas variables latentes de un encoder probabilístico $Z \sim q(Z | X, W)$

- Minimiza error de reconstrucción dados grafos y señales de entrenamiento
- Post entrenamiento, podemos tirar el encoder y generar grafos $\hat{W} \sim p(W | Z)$
 - Dadas variables latentes $Z \sim p(Z)$ muestreadas de una distribución a priori

T. N. Kipf and M. Welling, "Variational graph auto encoders," *arXiv:1611.07308 [stat.ML]*, 2016

Encoder y decoder probabilístico

- **Encoder:** modelo simple de inferencia parametrizado por GCNs

$$q(\mathbf{Z} | \mathbf{X}, \mathbf{W}) = \prod_{i \in \mathcal{V}} q(\mathbf{z}_i | \mathbf{X}, \mathbf{W}), \quad \text{with } q(\mathbf{z}_i | \mathbf{X}, \mathbf{W}) = \mathcal{N}(\mathbf{z}_i; \boldsymbol{\mu}_i, \text{diag}(\boldsymbol{\sigma}_i^2))$$

- Dos GCNs separadas para generar media y varianza

$$\boldsymbol{\mu}_{\mathbf{Z}} = \text{GCN}_{\boldsymbol{\mu}}(\mathbf{W}, \mathbf{X}), \quad \log \boldsymbol{\sigma}_{\mathbf{Z}} = \text{GCN}_{\boldsymbol{\sigma}}(\mathbf{W}, \mathbf{X})$$

- Dados $\boldsymbol{\mu}_{\mathbf{Z}}$ y $\log \boldsymbol{\sigma}_{\mathbf{Z}}$, podemos muestrear embeddings latentes via

$$\mathbf{Z} = \boldsymbol{\mu}_{\mathbf{Z}} + \exp(\log \boldsymbol{\sigma}_{\mathbf{Z}}) \circ \boldsymbol{\epsilon}, \quad \boldsymbol{\epsilon} \sim \mathcal{N}(\mathbf{0}, \mathbf{I})$$

(reparametrization trick)

- **Decoder:** modelo generativo basado en productos externos

$$p(\mathbf{W} | \mathbf{Z}) = \prod_{i, j \in \mathcal{V}^{(2)}} p(W_{ij} | \mathbf{z}_i, \mathbf{z}_j), \quad \text{with } p(W_{ij} = 1 | \mathbf{z}_i, \mathbf{z}_j) = \sigma(\mathbf{z}_i^{\top} \mathbf{z}_j)$$

- $\sigma(\cdot)$ es la función sigmoide logística

■ **Prior:** embeddings latentes de nodos asumidos $\mathbf{z}_i \stackrel{\text{i.i.d.}}{\sim} \mathcal{N}(\mathbf{0}, \mathbf{I})$

Entrenando VGAE

- Maximizar el **evidence likelihood lower bound (ELBO)**

$$\mathcal{L}(\Theta) = \sum_i \mathbb{E}_{q(\mathbf{Z}|\mathbf{X}_i, \mathbf{W}_i)} [\log p(\mathbf{W}_i | \mathbf{Z})] - \text{KL}(q(\mathbf{Z} | \mathbf{X}_i, \mathbf{W}_i), p(\mathbf{Z}))$$

- $\text{KL}(\cdot, \cdot)$ es la Kullback-Leibler divergence
 - Los parámetros a entrenar Θ son los filtros de la GCN \mathbf{H}_k
 - Requiere un conjunto de grafos de entrenamiento $\{\mathbf{W}_1, \mathbf{X}_1\}, \dots, \{\mathbf{W}_P, \mathbf{X}_P\}$
- Generar una distribución sobre \mathbf{Z} que satisfaga dos objetivos (contrapuestos)
 - (a) Los \mathbf{Z} muestreados sean suficientemente ricos para que el decoder reconstruya \mathbf{W}
 - (b) Que la distribución $q(\mathbf{Z} | \mathbf{X}, \mathbf{W})$ esté lo más cerca posible del prior $p(\mathbf{Z})$
 - Objetivo (b) es crítico para **generar nuevos grafos después de entrenar**
 \Rightarrow Muestrear $\mathbf{Z} \sim p(\mathbf{Z}) \rightarrow$ Decodificar $\hat{\mathbf{W}} \sim p(\mathbf{W}_i | \mathbf{Z})$

VGAE en acción

- **Ex:** Cora dataset con $N_v = 2708$ papers y $N_e = 5429$ citas
 - Señales de grafos: presencia/ausencia de 1433 palabras de un diccionario



- Espacio latente aprendido con VGAE
 - ⇒ Colores indican la etiqueta (disciplina, no usada en entrenamiento)